

Introdução à Computação Quântica

Hamilton José Brumatto - RA: 096389
brumatto@ic.unicamp.br

Universidade Estadual de Campinas - SP

14 de junho de 2010

- Física Clássica x Física Quântica
- O Princípio da Incerteza
- O Bit Quântico - Qubit
- n Qubits
- Porta Lógica de um Qubit
- Porta Lógica de n Qubits
- Circuito Lógico Quântico
- ULA Quântica
- Arquitetura de Computador Quântica
- Computadores Quânticos
- Conclusão

Como entender a Física Quântica?

- Física Clássica = Newton + Maxwell
- Fatos não são explicados:
 - Elétrons não caem no núcleo.
 - Catástrofe do Ultravioleta.
- Quanta: valores discretos de energia: $E = nh\nu$ (Planck)
- Física Quântica: Nível atômico possui níveis quânticos

Dualidade Partícula-Onda

- Heisenberg compila resultados:
 - Raios β : partícula em câmara de bolha
 - Raios β : onda ao atravessar estrutura cristalina
 - Raios X: onda ao atravessar estrutura cristalina
 - Raios X: partícula ao atravessar vapor supersaturado
- Princípio da incerteza:
 - Não é possível conhecer posição e velocidade ao mesmo tempo:
 - $\Delta x \cdot \Delta p \geq \frac{h}{4\pi}$
- Einstein: Efeito partícula onda na Luz - *fótons*
- Figura de difração: fótons um a um.
- **A medida influi no estado da partícula**

Estados Quânticos Fundamentais: Qubits

- Sistema possui dois estados ortogonais:
 - $|0\rangle$ e $|1\rangle$
 - $\langle 0|0\rangle = 1$, $\langle 1|0\rangle = 0$, $\langle 0|1\rangle = 0$ e $\langle 1|1\rangle = 1$
- Princípio da incerteza: Em qual estado está o sistema?
 - Estado é representado por uma função de probabilidade:
 - $|\psi\rangle = \alpha|0\rangle + \beta|1\rangle$
 - $\alpha^2 + \beta^2 = 1$
 - α^2 e β^2 representam a probabilidade
- Exemplo: Elétron na camada s do átomo de hidrogênio
- **Um Qubit medido estará em um estado fundamental**

Estados de sistemas com 2 Qubits

- Cada Qubit está em um estado:

- $|\psi\rangle = \alpha|0\rangle + \beta|1\rangle$ e $|\phi\rangle = \eta|0\rangle + \delta|1\rangle$

$$\begin{aligned} |\psi\rangle \otimes |\phi\rangle &= |\psi\rangle |\phi\rangle \\ &= (\alpha|0\rangle + \beta|1\rangle) \otimes (\eta|0\rangle + \delta|1\rangle) \\ &= \alpha\eta(|0\rangle \otimes |0\rangle) + \alpha\delta(|0\rangle \otimes |1\rangle) \\ &\quad + \beta\eta(|1\rangle \otimes |0\rangle) + \beta\delta(|1\rangle \otimes |1\rangle) \\ &= \alpha\eta|00\rangle + \alpha\delta|01\rangle + \beta\eta|10\rangle + \beta\delta|11\rangle \\ &= \alpha\eta|\mathbf{1}\rangle + \alpha\delta|\mathbf{2}\rangle + \beta\eta|\mathbf{3}\rangle + \beta\delta|\mathbf{4}\rangle \end{aligned}$$

- Sistema com quatro estados quânticos representa sistema de 2 Qubits

- Estados fundamentais são auto-estados, representados por auto-vetores.

$$\alpha|\mathbf{0}\rangle + \beta|\mathbf{1}\rangle = \alpha \begin{bmatrix} 1 \\ 0 \end{bmatrix} + \beta \begin{bmatrix} 0 \\ 1 \end{bmatrix} = \begin{bmatrix} \alpha \\ \beta \end{bmatrix}$$

$$|\psi\rangle \otimes |\phi\rangle = \begin{bmatrix} \alpha \\ \beta \end{bmatrix} \otimes \begin{bmatrix} \eta \\ \delta \end{bmatrix} = \begin{bmatrix} \alpha\eta \\ \alpha\delta \\ \beta\eta \\ \beta\delta \end{bmatrix}$$

- Se um Qubit for medido no estado m :

$$|\Psi\rangle = \eta|\mathbf{m}, \mathbf{0}\rangle + \delta|\mathbf{m}, \mathbf{1}\rangle$$

- Estado de Bell, ou par EPR:

$$|\Psi\rangle = \eta|\mathbf{0}, \mathbf{0}\rangle + \delta|\mathbf{1}, \mathbf{1}\rangle$$

- Sistemas com n Qubits: 2^n estados:

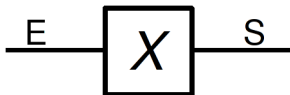
$$|\Psi\rangle = |\psi_1\rangle \otimes |\psi_2\rangle \otimes |\psi_3\rangle \otimes \dots \otimes |\psi_n\rangle$$

Poder computacional previsto para a Computação Quântica.

- Sistema com n Qubits possui 2^n estados.
- Medida representa apenas um estado, dada a probabilidade na distribuição.
- Modelo próprio para a Máquina Probabilística de Turing.
- Algoritmos conseguem resolver problemas NP-Completo em tempo polinomial.

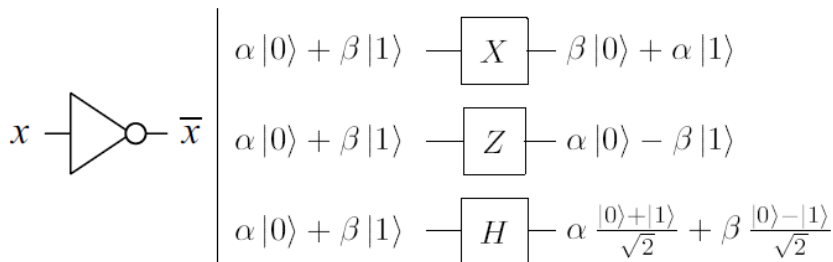
- Transforma estado $|0\rangle$ em $|1\rangle$ e vice-versa.

$$\begin{aligned} X|0\rangle &= |1\rangle & \text{e} & & X|1\rangle &= |0\rangle \\ X(\alpha|0\rangle + \beta|1\rangle) &= \alpha X|0\rangle + \beta X|1\rangle \\ &= \alpha|1\rangle + \beta|0\rangle \\ X \begin{bmatrix} \alpha \\ \beta \end{bmatrix} &= \begin{bmatrix} 0 & 1 \\ 1 & 0 \end{bmatrix} \begin{bmatrix} \alpha \\ \beta \end{bmatrix} = \begin{bmatrix} \beta \\ \alpha \end{bmatrix} \end{aligned}$$



Portas Quânticas

Portas de um Qubit



- A porta H , porta de *Hadamard*, é conhecida como “raiz quadrada de NÃO”
- A porta quântica deve ser unitária

$$U^\dagger U = I = \begin{bmatrix} 1 & 0 \\ 0 & 1 \end{bmatrix}$$

$$\text{Pauli} - Y : Y \equiv \begin{bmatrix} 0 & -i \\ i & 0 \end{bmatrix}$$

$$\text{Fase} : S \equiv \begin{bmatrix} 1 & 0 \\ 0 & i \end{bmatrix}$$

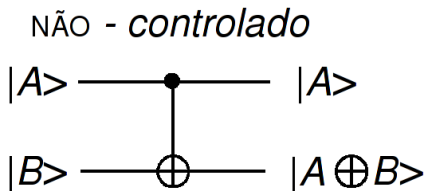
$$\frac{\pi}{8} : T \equiv \begin{bmatrix} 1 & 0 \\ 0 & e^{i\pi/4} \end{bmatrix}$$

- Portas *Pauli-X*, *Pauli-Y* e *Pauli-Z*: Portas de Inversão
- Porta *H* - (*Hadamard*), *S* - (de *Fase*) e *T* - ($\pi/8$):
Deslocamento de Fase
- A porta *S* (*Fase*) é a raiz quadrada da porta *Z* de Pauli
- A porta *T* ($\pi/8$) é a raiz quadrada da porta de *Fase*.

Portas de dois Qubits

Portas NÃO-Controlado

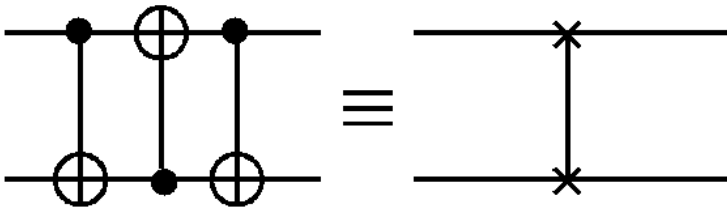
- Porta NÃO-Controlado: C-NOT



$$U_{CN} = \begin{bmatrix} 1 & 0 & 0 & 0 \\ 0 & 1 & 0 & 0 \\ 0 & 0 & 0 & 1 \\ 0 & 0 & 1 & 0 \end{bmatrix}$$

- Existem outras portas de 2 Qubits
- Porta C-NOT junto com portas de um Qubit forma conjunto universal
- Porta de n Qubits é representada por matriz de $2^n \times 2^n$

- Porta de Troca: Circuito com portas C-NOT.

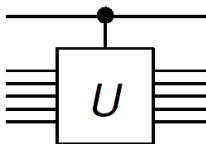


$$|a, b\rangle \mapsto |a, a \oplus b\rangle$$

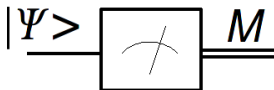
$$\mapsto |a \oplus (a \oplus b)\rangle = |b, a \oplus b\rangle$$

$$\mapsto |b, (a \oplus b) \oplus b\rangle = |b, a\rangle$$

- Porta Controlada de n Qubits

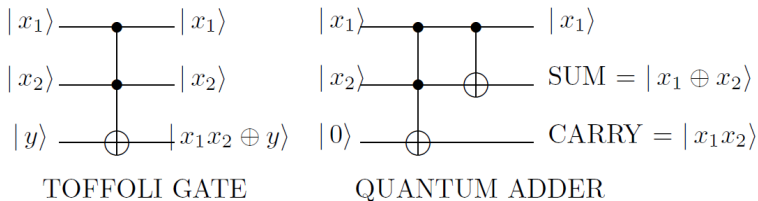


- Circuito de medida (obtem valor clássico)



- Um único valor de estado fundamental medido
- $|\psi\rangle = \alpha|0\rangle + \beta|1\rangle$: probab. α^2 de ser 0 e β^2 de ser 1

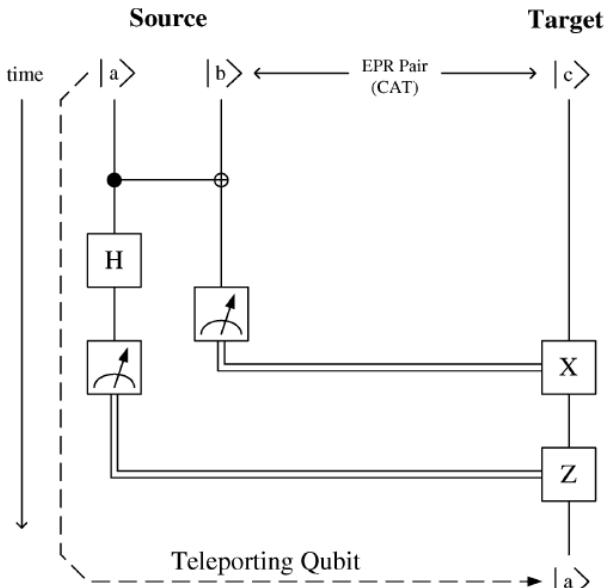
- Rede de Portas Quânticas: Adder



- Problema de **Descoerência** no transporte de Qubits
- Mecanismos de transporte confiáveis:
 - Rede de portas de troca
 - Teleporte Quântico

ULA Quântica

Teleporte Quântico[2]



- Par EPR responsável pelo teleporte

$$\begin{aligned}
 |\Psi_0\rangle &= |\Psi\rangle |\beta_{00}\rangle \\
 &= \frac{1}{\sqrt{2}} [\alpha|0\rangle (|00\rangle + |11\rangle) + \beta|1\rangle (|00\rangle + |11\rangle)]
 \end{aligned}$$

- Teleporte Quântico : Porta C-NOT e Hadamard

$$|\Psi_1\rangle = \frac{1}{\sqrt{2}} [\alpha|0\rangle (|00\rangle + |11\rangle) + \beta|1\rangle (|10\rangle + |01\rangle)]$$

$$\begin{aligned}
 |\Psi_2\rangle &= \frac{1}{2} [\alpha (|0\rangle + |1\rangle) (|00\rangle + |11\rangle) \\
 &\quad + \beta (|0\rangle - |1\rangle) (|10\rangle + |01\rangle)]
 \end{aligned}$$

- Teleporte Quântico : Reescrevendo o resultado

$$|\Psi_2\rangle = \frac{1}{2}[\alpha(|0\rangle + |1\rangle)(|00\rangle + |11\rangle) + \beta(|0\rangle - |1\rangle)(|10\rangle + |01\rangle)]$$

$$|\Psi_2\rangle = \frac{1}{2}[|00\rangle(\alpha|0\rangle + \beta|1\rangle) + |01\rangle(\alpha|1\rangle + \beta|0\rangle) + |10\rangle(\alpha|0\rangle - \beta|1\rangle) + |11\rangle(\alpha|1\rangle - \beta|0\rangle)]$$

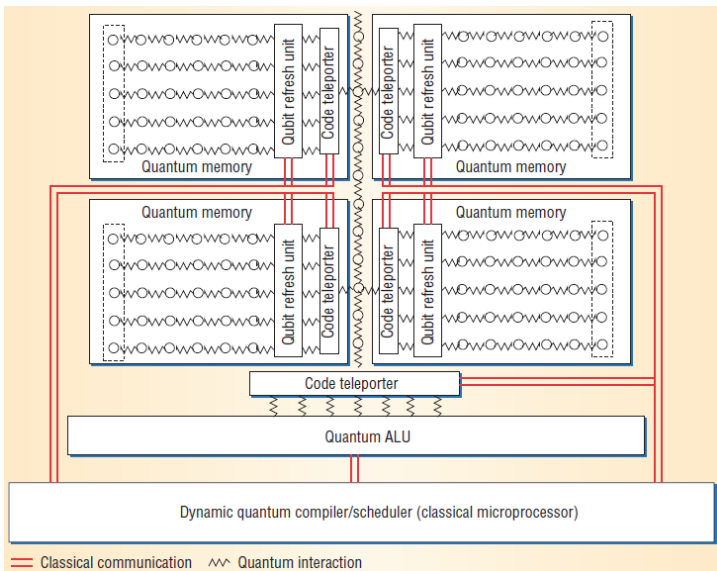
- Após a medida do Qubit original e primeiro Qubit do par EPR resta possivelmente uma inversão.

Evitando a Descoerência

- O estado deve ser corrigido para o original sem termos conhecimento do original
- Código $[n, k]$, k Qubits de dados.
- $n - k$ Qubits auxiliares inicialmente no estado fundamental $|0\rangle$.
- Após a operação quântica, o estado dos Qubits auxiliares representam o erro de descoerência.
- Aplica-se uma das 2^{n-k} operações de correção do erro.
- Custo do mecanismo: sobrecarga de Qubits e operações.

Arquitetura Quântica

Arquitetura Proposta[4]



- Memória Quântica: Necessita correção de erro e *refresh*.
- ULA Quântica: Conjunto universal de portas quânticas.
- ULA realiza operações quânticas e operações de correção de erro.
- Circuito de teleporte quântico para transporte de Qubits.
- Circuito de controle baseado em processador clássico de alto desempenho.

ULA Quântica

- Hadamard
- Identidade (I, ou NOP quântico)
- Flip de Bit (X, ou NÃO quântico)
- Flip de Fase (Z)
- Flip de Bit e Fase (Y)
- Rotação por $\pi/4$ (S)
- Rotação por $\pi/8$ (T) e
- NÃO - controlado (C-NOT)

Computador Quântico Ótico

- Qubit: localização de um único fóton em duas cavidades:
 $|01\rangle$ e $|10\rangle$
- Qubit: polarização do fóton.
- Portas: transformações baseada em deslocadores de fase, divisores de feixe e meios não lineares para modulação relativa de dois fótons.
- Meios não lineares apresentam a dificuldade para o modelo.

Eletrodinâmica Quântica de Cavidades Óticas - EDQ

- Acoplamento de um único átomo com alguns modos óticos confinado em cavidade com alto valor de Q (fator de qualidade)
- Qubit: Fótons do estado ótico do átomo
- Portas: semelhante ao computador ótico.
- Meios não lineares representam, também, a dificuldade para este modelo.

Armadilhas Iônicas

- Átomos resfriados até que a energia cinética permita distinção entre estados de *spin*
- Qubit: Acoplamento de Spin: elétron-núcleo: $-\frac{3}{2}$, $-\frac{1}{2}$, $\frac{1}{2}$ e $\frac{3}{2}$
- Portas: pulsos de laser para manipulação dos estados atômicos.
- Dificuldades: tempo de descoerência dos fônons (estado de vibração dos *spins*) e preparar íons no estado fundamental.
- Modelo mais promissor.

Ressonância Magnética Nuclear

- Átomos precessionando na aplicação de um campo magnético estático intenso.
- Qubit: *Spin* do núcleo em precessão.
- Portas: pulsos magnéticos em um forte campo magnético estático.
- Dificuldades: medida de estado, o sinal de precessão é muito fraco e preparação do estado fundamental.

Computadores Quânticos

Protótipos

- Existem outros modelos.
- Máquinas atingem próximo de uma dezena de Qubits.
- Alarde da D-Wave Systema de computador quântico de 128 Qubits não reconhecido.
- Roadmap criado em 2004 para evolução até 2012.

Computadores Quânticos

Roadmap[1]

QC Approach	The DiVincenzo Criteria							
	Quantum Computation						QC Networkability	
	#1	#2	#3	#4	#5		#6	#7
NMR								
Trapped Ion								
Neutral Atom								
Cavity QED								
Optical								
Solid State								
Superconducting								
Unique Qubits	This field is so diverse that it is not feasible to label the criteria with "Promise" symbols.							

Legend: = Uma abordagem viável potencial atingiu prova suficiente do princípio

= Uma abordagem viável potencial foi proposta, mas não há prova suficiente do princípio

= Não é conhecida nenhuma abordagem

#1 = Um sistema físico escalável com Qubits bem caracterizados

#2 = Habilidade de iniciar Qubits em um estado simples garantido

#3 = Tempo de descoerência longo, muito maior que o tempo de operação da porta

#4 = Um conjunto universal de portas quânticas

#5 = Capacidade de medir específicos Qubits

#6 = Capacidade de trocar Qubits estacionários e em movimento

#7 = Capacidade de transmitir de forma segura Qubits em movimento entre posições específicas

- Proposta de ferramenta poderosa na solução de problemas computacionais intratáveis.
- Fisicamente possível.
- Protótipos demonstram uma viabilidade prevista.
- Resultados muito pequenos atualmente.
- Depende da evolução tecnológica, a história garante que é promissor.



HUGHES, R., ET AL.

A quantum information science and technology roadmap - part 1: Quantum computation.

<http://qist.lanl.gov/> acessado em Maio, 2010.



ISAILOVIC, N., ET AL.

Data path and control for quantum wires.

ACM Transactions on Architecture and Code Optimization (TACO) 1, 1 (Mar. 2004), 34–61.



NIELSEN, M. A., AND CHANG, I. L.

Quantum Computation and Quantum Information.

Cambridge University Press, 2000.



OSKIN, M., CHONG, F. T., AND CHUANG, I. L.

A practical architecture for reliable quantum computers.

Computer 35, 1 (jan 2002), 79–87.